

F4110
Kvantová fyzika atomárních soustav
letní semestr 2011 - 2012

V.

Synchrotronové záření
cvičení

KOTLÁŘSKÁ 4. DUBNA 2012

Krátký historický přehled

Začátky

Synchrotron objeven jako urychlovač částic

Brzy se ukázalo, že parazitní jev, vyzařování elmg. energie skoro dominuje činnost těchto zařízení

Záření jevilo již při relativně nízkých energiích elektronů uvedené vlastnosti a bylo vlastně dost nebezpečné

Roku 1949 vypracoval základní teorii SZ

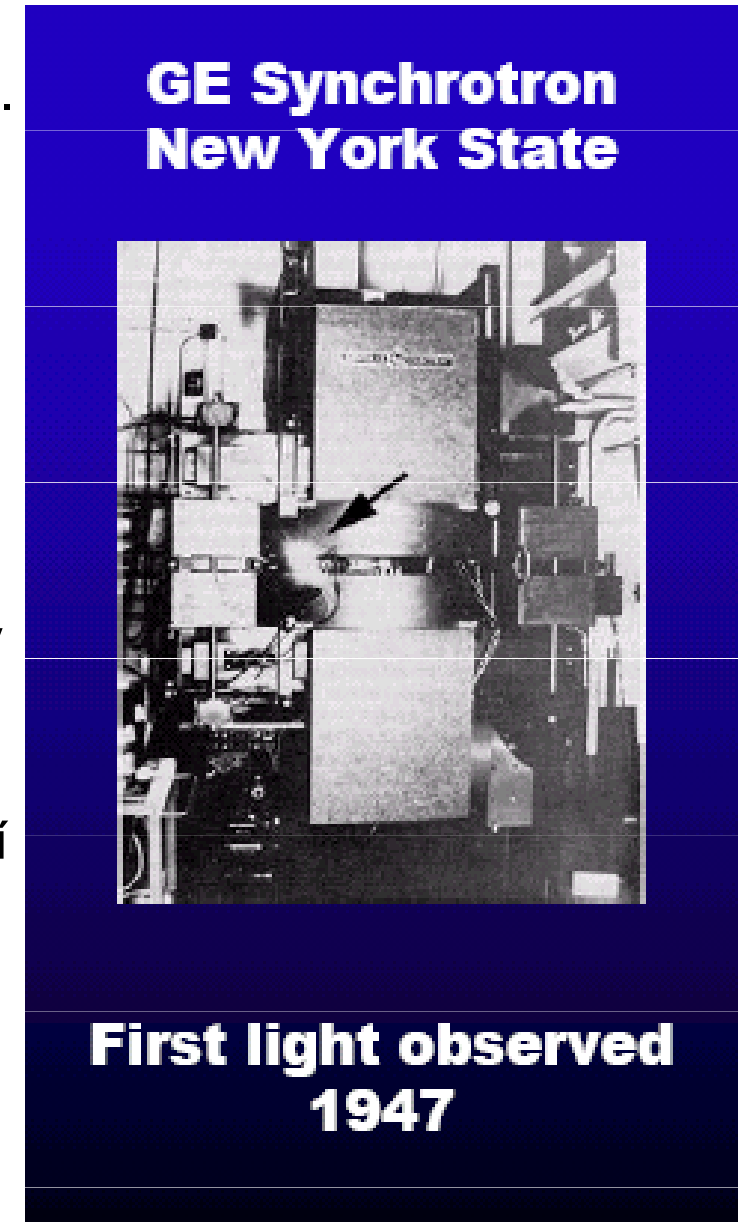
Julian Schwinger (později Nobelova cena za elektroslabé interakce)

Již na konci 50 let žebronili nečásticoví fysici, aby mohli SZ využívat.

Problémy: pokusy s částicemi a se světlem se špatně sladčovaly, synchrotrony také nebyly ideální zdroje.

Proto vznikla myšlenka **dedikovaných zdrojů SZ**

Ta se ujala, protože stejně synchrotrony pro částicovou fysiku ztratily význam.



Klikatá cesta

- 1873** Maxwellovy rovnice ... nerovnoměrná změna v rozložení nábojů ⇒ vyzařování elmg. energie
- 1878** Hertz ... generace elmg. vln, anténa → Hertzův dipól
- 1898** Liénard (-Wiechertovy) potenciály ... řešení Maxwellových rovnic pro pole vyvolané libovolným pohybem bodového náboje
- 1907** Schott úplné řešení pro zářící náboj na kruhové orbitě (model atomu) ... **úplně zapomenuto**
- ♠ ♠ ♠ ♠
- 1946** Blewett pozoroval ztráty energie u elektronů v betatronu, ale nepozoroval žádné záření
Arcimovič a Pomerančuk obnovená teorie záření orbit. elektronu
- 1947** Pollock (vlastně Floyd Haber) náhodně pozorují záření synchrotronu se 70 MeV elektrony
Alfvén & Herlofsen a Ginzburg & Šklovskij ... SR z Vesmíru
- 1947** Rozvoj radioteleskopie mlhovina Cassiopea A ... zdroj SR ...
- 1948** Ivanenko a Sokolov základní teorie SR – na Západě neznámá
- 1949** Schwinger „klasická“ klasická teorie SR
- 1954** Schwinger „klasická“ kvantová teorie SR

L'Éclairage Électrique

REVUE HEBDOMADAIRE D'ÉLECTRICITÉ

DIRECTION SCIENTIFIQUE

A. CORNU, Professeur à l'École Polytechnique, Membre de l'Institut. — A. D'ARSONVAL, Professeur au Collège de France, Membre de l'Institut. — G. LIPPMANN, Professeur à la Sorbonne, Membre de l'Institut. — D. MONNIER, Professeur à l'École centrale des Arts et Manufactures. — H. POINCARÉ, Professeur à la Sorbonne, Membre de l'Institut. — A. POTIER, Professeur à l'École des Mines, Membre de l'Institut. — J. BLONDIN, Professeur agrégé de l'Université.

CHAMP ÉLECTRIQUE ET MAGNÉTIQUE

PRODUIT PAR UNE CHARGE ÉLECTRIQUE CONCENTRÉE EN UN POINT ET ANIMÉE
D'UN MOUVEMENT QUELCONQUE

Admettons qu'une masse électrique en mouvement de densité ρ et de vitesse u en chaque point produit le même champ qu'un courant de conduction d'intensité ρu . En conservant les notations d'un précédent article (¹) nous obtiendrons pour déterminer le champ, les équations

$$\frac{1}{4\pi} \left(\frac{du}{dy} - \frac{d^2}{dt^2} \right) = \rho u_x + \frac{df}{dt} \quad (1)$$

$$\nabla^2 \left(\frac{dh}{dy} - \frac{df}{dt} \right) = - \frac{1}{4\pi} \frac{ds}{dt} \quad (2)$$

avec les analogues déduites par permutation tournante et en outre les suivantes

$$\rho = \left(\frac{df}{dx} + \frac{dg}{dy} + \frac{dh}{dz} \right) \quad (3)$$

$$\frac{ds}{dx} + \frac{dt}{dy} + \frac{dr}{dz} = 0. \quad (4)$$

De ce système d'équations on déduit facilement les relations

$$\left(\nabla^2 \rho - \frac{d^2}{dt^2} \right) f = \nabla^2 \frac{ds}{dx} + \frac{d}{dt} (\rho u_x) \quad (5)$$

$$\left(\nabla^2 \rho - \frac{d^2}{dt^2} \right) g = 4\pi \nabla^2 \left[\frac{d}{dt} (\rho u_y) - \frac{d}{dy} (\rho u_z) \right] \quad (6)$$

(¹) La théorie de Lorentz, *L'Éclairage Électrique*, t. XIV, p. 417. x, y, z, t , sont les composantes de la force magnétique et f, g, h , celles du déplacement dans l'éther.

Soient maintenant quatre fonctions ψ, F, G, H définies par les conditions

$$\left(\nabla^2 \rho - \frac{d^2}{dt^2} \right) \psi = - 4\pi \nabla^2 \rho u_x \quad (7)$$

$$\left(\nabla^2 \rho - \frac{d^2}{dt^2} \right) F = - 4\pi \nabla^2 \rho u_y \quad (8)$$

$$\left(\nabla^2 \rho - \frac{d^2}{dt^2} \right) G = - 4\pi \nabla^2 \rho u_z \quad (9)$$

$$\left(\nabla^2 \rho - \frac{d^2}{dt^2} \right) H = - 4\pi \nabla^2 \rho s_x \quad (10)$$

On satisfara aux conditions (5) et (6) en prenant

$$4\pi f = - \frac{d^2 \psi}{dx^2} - \frac{1}{\nabla^2} \frac{dF}{dt} \quad (11)$$

$$s = \frac{dH}{dy} - \frac{dG}{dz}. \quad (12)$$

Quant aux équations (1) à (4), pour qu'elles soient satisfaites, il faudra que, en plus de (7) et (8), on ait la condition

$$\frac{d^2 \psi}{dt^2} + \frac{\partial F}{\partial x} + \frac{\partial G}{\partial y} + \frac{\partial H}{\partial z} = 0. \quad (13)$$

Occupons-nous d'abord de l'équation (7). On sait que la solution la plus générale est la suivante :

$$\psi = \int \frac{\rho [x', y', z', t - \frac{r}{c}]}{r} ds' \quad (14)$$

První strana Liénardovy práce

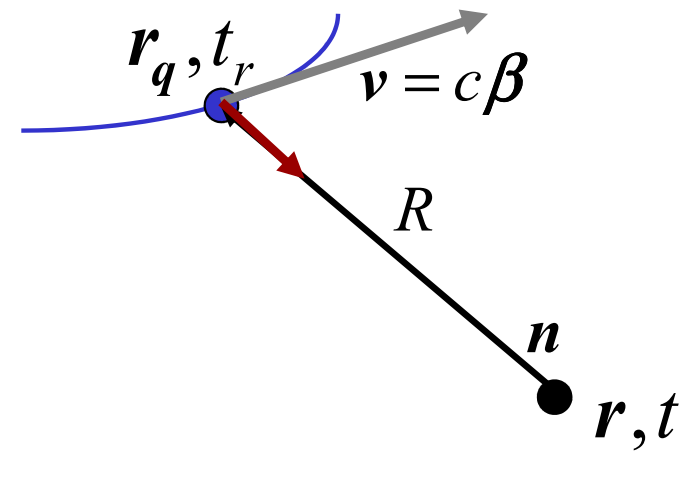
*jednoduchý, ale netriviální
výsledek*

například skalární potenciál:

$$\Phi(r, t) = \frac{q}{4\pi\epsilon_0} \frac{1}{R(1 - n\beta)} \Big|_{t_r}$$

$$c \cdot (t - t_r) = |\mathbf{r} - \mathbf{r}_q(t_r)| \equiv R(t_r)$$

$$\beta = c^{-1} \mathbf{v}$$



L'Éclairage Électrique

REVUE HEBDOMADAIRE D'ÉLECTRICITÉ

DIRECTION SCIENTIFIQUE

A. CORNU, Professeur à l'École Polytechnique, Membre de l'Institut. — A. D'ARSONVAL, Professeur au Collège de France, Membre de l'Institut. — G. LIPPMANN, Professeur à la Sorbonne, Membre de l'Institut. — D. MONNIER, Professeur à l'École centrale des Arts et Manufactures. — H. POINCARÉ, Professeur à la Sorbonne, Membre de l'Institut. — A. POTIER, Professeur à l'École des Mines, Membre de l'Institut. — J. BLONDIN, Professeur agrégé de l'Université.

POLE ELEKTRICKÉ A MAGNETICKÉ

VYTVAŘENÉ ELEKTRICKÝM NÁBOJEM SOUSTŘEDĚNÝM DO BODU A POHÁNĚNÉ
JEHO POHYBEM

Admettons qu'une masse électrique en mouvement de densité ρ et de vitesse u en chaque point produit le même champ qu'un courant de conduction d'intensité $u\rho$. En conservant les notations d'un précédent article (¹) nous obtiendrons pour déterminer le champ, les équations

$$\frac{1}{4\pi} \left(\frac{du}{dy} - \frac{d^2}{dt^2} \right) = \rho u_x + \frac{df}{dt} \quad (1)$$

$$\nabla^2 \left(\frac{du}{dy} - \frac{d^2}{dt^2} \right) = - \frac{1}{4\pi} \frac{ds}{dt} \quad (2)$$

avec les analogues déduites par permutation tournante et en outre les suivantes

$$\rho = \left(\frac{df}{dx} + \frac{dg}{dy} + \frac{dh}{dz} \right) \quad (3)$$

$$\frac{ds}{dx} + \frac{dt}{dy} + \frac{dr}{dz} = 0. \quad (4)$$

De ce système d'équations on déduit facilement les relations

$$\left(\nabla^2 - \frac{d^2}{dt^2} \right) f = \nabla^2 \frac{ds}{dx} + \frac{d}{dt} (\rho u_x) \quad (5)$$

$$\left(\nabla^2 - \frac{d^2}{dt^2} \right) g = 4\pi V^2 \left[\frac{d}{dt} (\rho u_y) - \frac{d}{dy} (\rho u_z) \right] \quad (6)$$

(¹) La théorie de Lorentz, *L'Éclairage Électrique*, t. XIV, p. 417. x, y, z, t , sont les composantes de la force magnétique et f, g, h , celles du déplacement dans l'éther.

Soient maintenant quatre fonctions ψ, F, G, H définies par les conditions

$$\left(\nabla^2 - \frac{d^2}{dt^2} \right) \psi = - 4\pi V^2 \rho. \quad (7)$$

$$\left(\nabla^2 - \frac{d^2}{dt^2} \right) F = - 4\pi V^2 \rho u_x \quad (8)$$

$$\left(\nabla^2 - \frac{d^2}{dt^2} \right) G = - 4\pi V^2 \rho u_y \quad (9)$$

$$\left(\nabla^2 - \frac{d^2}{dt^2} \right) H = - 4\pi V^2 \rho u_z \quad (10)$$

On satisfara aux conditions (5) et (6) en prenant

$$4\pi f = - \frac{d^2 \psi}{dx^2} - \frac{1}{V^2} \frac{d^2 F}{dt^2} \quad (11)$$

$$s = \frac{d^2 H}{dy^2} - \frac{d^2 G}{dz^2}. \quad (12)$$

Quant aux équations (1) à (4), pour qu'elles soient satisfaites, il faudra que, en plus de (7) et (8), on ait la condition

$$\frac{d^2 \psi}{dt^2} + \frac{d^2 F}{dx^2} + \frac{d^2 G}{dy^2} + \frac{d^2 H}{dz^2} = 0. \quad (13)$$

Occupons-nous d'abord de l'équation (7). On sait que la solution la plus générale est la suivante :

$$\psi = \int \frac{\rho [x', y', z', t - \frac{r}{V}]}{r} ds' \quad (14)$$

První strana Liénardovy práce

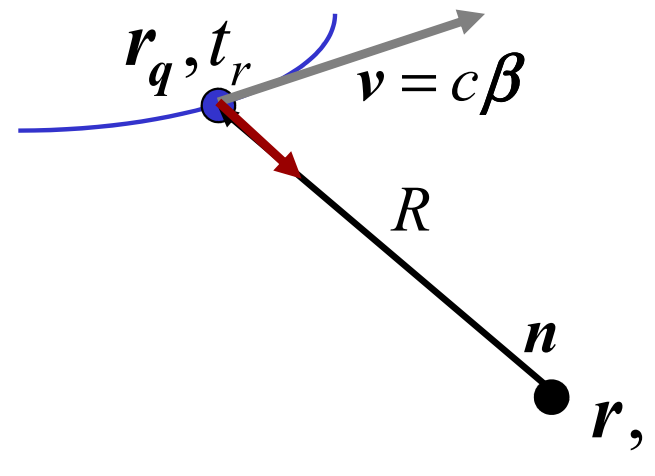
*jednoduchý, ale netriviální
výsledek*

například skalární potenciál:

$$\Phi(r, t) = \frac{q}{4\pi\epsilon_0} \frac{1}{R(1 - n\beta)} \Big|_{t_r}$$

$$c \cdot (t - t_r) = |\mathbf{r} - \mathbf{r}_q(t_r)| \equiv R(t_r)$$

$$\beta = c^{-1} \mathbf{v}$$



L'Éclairage Électrique

REVUE HEBDOMADAIRE D'ÉLECTRICITÉ

DIRECTION SCIENTIFIQUE

A. CORNU, Professeur à l'École Polytechnique, Membre de l'Institut. — A. D'ARSONVAL, Professeur au Collège de France, Membre de l'Institut. — G. LIPPMANN, Professeur à la Sorbonne, Membre de l'Institut. — D. MONNIER, Professeur à l'École centrale des Arts et Manufactures. — H. POINCARÉ, Professeur à la Sorbonne, Membre de l'Institut. — A. POTIER, Professeur à l'École des Mines, Membre de l'Institut. — J. BLONDIN, Professeur agrégé de l'Université.

CHAMP ÉLECTRIQUE ET MAGNÉTIQUE

PRODUIT PAR UNE CHARGE ÉLECTRIQUE CONCENTRÉE EN UN POINT ET ANIMÉE
D'UN MOUVEMENT QUELCONQUE

Admettons qu'une masse électrique en mouvement de densité ρ et de vitesse u en chaque point produit le même champ qu'un courant de conduction d'intensité $u\rho$. En conservant les notations d'un précédent article (¹) nous obtiendrons pour déterminer le champ, les équations

$$\frac{1}{4\pi} \left(\frac{du}{dy} - \frac{d^2}{dt^2} \right) = \rho u_x + \frac{df}{dt} \quad (1)$$

$$\nabla^2 \left(\frac{du}{dy} - \frac{d^2}{dt^2} \right) = - \frac{1}{4\pi} \frac{ds}{dt} \quad (2)$$

avec les analogues déduites par permutation tournante et en outre les suivantes

$$\rho = \left(\frac{df}{dx} + \frac{dg}{dy} + \frac{dh}{dz} \right) \quad (3)$$

$$\frac{ds}{dx} + \frac{dt}{dy} + \frac{dr}{dz} = 0. \quad (4)$$

De ce système d'équations on déduit facilement les relations

$$\left(\nabla^2 - \frac{d^2}{dt^2} \right) f = \nabla^2 \frac{ds}{dx} + \frac{d}{dt} (\rho u_x) \quad (5)$$

$$\left(\nabla^2 - \frac{d^2}{dt^2} \right) g = 4\pi \nabla^2 \left[\frac{d}{dt} (\rho u_y) - \frac{d}{dy} (\rho u_z) \right] \quad (6)$$

(¹) La théorie de Lorentz, *L'Éclairage Électrique*, t. XIV, p. 417. x, y, z, τ , sont les composantes de la force magnétique et f, g, h , celles du déplacement dans l'éther.

Soient maintenant quatre fonctions ψ, F, G, H définies par les conditions

$$\left(\nabla^2 - \frac{d^2}{dt^2} \right) \psi = - 4\pi \nabla^2 \rho u_x \quad (7)$$

$$\left(\nabla^2 - \frac{d^2}{dt^2} \right) F = - 4\pi \nabla^2 \rho u_y \quad (8)$$

$$\left(\nabla^2 - \frac{d^2}{dt^2} \right) G = - 4\pi \nabla^2 \rho u_z \quad (9)$$

$$\left(\nabla^2 - \frac{d^2}{dt^2} \right) H = - 4\pi \nabla^2 \rho u_t \quad (10)$$

On satisfara aux conditions (5) et (6) en prenant

$$4\pi f = - \frac{d^2 \psi}{dx^2} - \frac{1}{\nabla^2} \frac{dF}{dt} \quad (11)$$

$$g = \frac{dH}{dy} - \frac{dG}{dz}. \quad (12)$$

Quant aux équations (1) à (4), pour qu'elles soient satisfaites, il faudra que, en plus de (7) et (8), on ait la condition

$$\frac{d^2 \psi}{dt^2} + \frac{\partial F}{\partial x} + \frac{\partial G}{\partial y} + \frac{\partial H}{\partial z} = 0. \quad (13)$$

Occupons-nous d'abord de l'équation (7).

On sait que la solution la plus générale est la suivante :

$$\psi = \int \frac{\rho [x', y', z', t - \frac{r}{c}]}{r} ds' \quad (14)$$

První strana Liénardovy práce

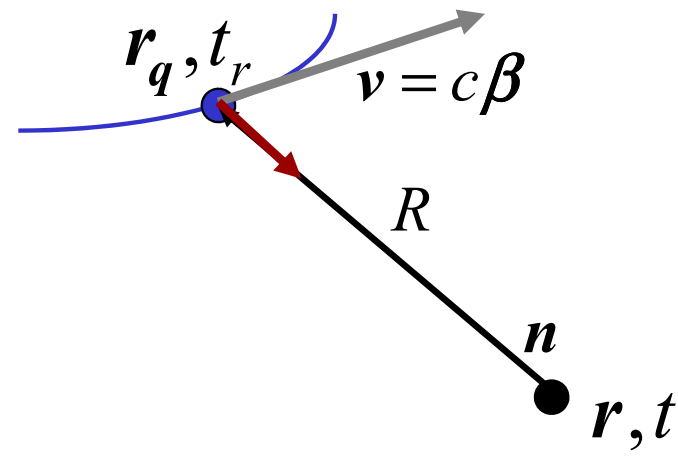
*jednoduchý, ale netriviální
výsledek*

například skalární potenciál:

$$\Phi(r, t) = \frac{q}{4\pi\epsilon_0} \frac{1}{R(1 - n\beta)} \Big|_{t_r}$$

$$c \cdot (t - t_r) = |\mathbf{r} - \mathbf{r}_q(t_r)| \equiv R(t_r)$$

$$\beta = c^{-1} \mathbf{v}$$



L'Éclairage Électrique

REVUE HEBDOMADAIRE D'ÉLECTRICITÉ

DIRECTION SCIENTIFIQUE

A. CORNU, Professeur à l'École Polytechnique, Membre de l'Institut. — A. D'ARSONVAL, Professeur au Collège de France, Membre de l'Institut. — G. LIPPMANN, Professeur à la Sorbonne, Membre de l'Institut. — D. MONNIER, Professeur à l'École centrale des Arts et Manufactures. — H. POINCARÉ, Professeur à la Sorbonne, Membre de l'Institut. — A. POTIER, Professeur à l'École des Mines, Membre de l'Institut. — J. BLONDIN, Professeur agrégé de l'Université.

CHAMP ÉLECTRIQUE ET MAGNÉTIQUE

PRODUIT PAR UNE CHARGE ÉLECTRIQUE CONCENTRÉE EN UN POINT ET ANIMÉE
D'UN MOUVEMENT QUELCONQUE

Admettons qu'une masse électrique en mouvement de densité ρ et de vitesse v en chaque point produit le même champ qu'un courant de conduction d'intensité ρv . En conservant les notations d'un précédent article (¹) nous obtiendrons pour déterminer le champ, les équations

$$\frac{1}{4\pi} \left(\frac{dv}{dy} - \frac{d^2}{dt^2} \right) = \rho u_x + \frac{df}{dt} \quad (1)$$

$$V^x \left(\frac{dh}{dy} - \frac{d^2f}{dt^2} \right) = - \frac{1}{4\pi} \frac{ds}{dt} \quad (2)$$

¹ avec les analogues déduites par permutation

Soient maintenant quatre fonctions ψ , F , G , H définies par les conditions

$$\left(V^x \frac{d}{dt} - \frac{d^2}{dt^2} \right) \psi = - 4\pi V^x \rho \quad (3)$$

$$\left(V^x \frac{d}{dt} - \frac{d^2}{dt^2} \right) F = - 4\pi V^x \rho u_x \quad (4)$$

$$\left(V^x \frac{d}{dt} - \frac{d^2}{dt^2} \right) G = - 4\pi \rho u_y \quad (5)$$

$$\left(V^x \frac{d}{dt} - \frac{d^2}{dt^2} \right) H = - 4\pi V^x \rho u_z \quad (6)$$

On satisfera aux conditions (3) et (6) en prenant

On sait que la solution la plus générale est la suivante :

$$\psi = \int \frac{\rho [x', y', z', t - \frac{r}{v}]}{r} ds' \quad (12)$$

První strana Liénardovy práce

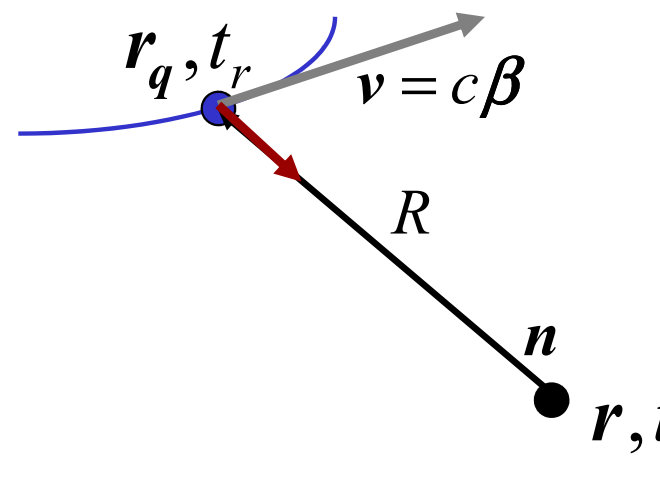
jednoduchý, ale netriviální
výsledek

například skalární potenciál:

$$\Phi(r, t) = \frac{q}{4\pi\epsilon_0} \frac{1}{R(1 - n\beta)} \Big|_{t_r}$$

$$c \cdot (t - t_r) = |\mathbf{r} - \mathbf{r}_q(t_r)| \equiv R(t_r)$$

$$\beta = c^{-1} \mathbf{v}$$



L'Éclairage Électrique

REVUE HEBDOMADAIRE D'ÉLECTRICITÉ

DIRECTION SCIENTIFIQUE

A. CORNU, Professeur à l'École Polytechnique, Membre de l'Institut. — A. D'ARSONVAL, Professeur au Collège de France, Membre de l'Institut. — G. LIPPMANN, Professeur à la Sorbonne, Membre de l'Institut. — D. MONNIER, Professeur à l'École centrale des Arts et Manufactures. — H. POINCARÉ, Professeur à la Sorbonne, Membre de l'Institut. — A. POTIER, Professeur à l'École des Mines, Membre de l'Institut. — J. BLONDIN, Professeur agrégé de l'Université.

CHAMP ÉLECTRIQUE ET MAGNÉTIQUE

PRODUIT PAR UNE CHARGE ÉLECTRIQUE CONCENTRÉE EN UN POINT ET ANIMÉE
D'UN MOUVEMENT QUELCONQUE

Admettons qu'une masse électrique en mouvement de densité ρ et de vitesse u en chaque point produit le même champ qu'un courant de conduction d'intensité $u\rho$. En conservant les notations d'un précédent article (¹) nous obtiendrons pour déterminer le champ, les équations

$$\frac{1}{4\pi} \left(\frac{du}{dy} - \frac{d\beta}{dt} \right) = \rho u_x + \frac{df}{dt} \quad (1)$$

$$\nabla^2 \left(\frac{du}{dy} - \frac{d\beta}{dt} \right) = - \frac{1}{4\pi} \frac{ds}{dt} \quad (2)$$

¹ avec les analogues déduites par permutation

Soient maintenant quatre fonctions ψ , F , G , H définies par les conditions

$$\left(\nabla^2 \psi - \frac{d^2}{dt^2} \right) \psi = - 4\pi V^2 \rho \quad (7)$$

$$\left(\nabla^2 \lambda - \frac{d^2}{dt^2} \right) F = - 4\pi V^2 \rho u_x \quad (8)$$

$$\left(\nabla^2 \lambda - \frac{d^2}{dt^2} \right) G = - 4\pi V^2 \rho u_y \quad (9)$$

$$\left(\nabla^2 \lambda - \frac{d^2}{dt^2} \right) H = - 4\pi V^2 \rho u_z \quad (10)$$

On satisfera aux conditions (5) et (6) en prenant

On sait que la solution la plus générale est la suivante :

$$\Phi = \int \frac{\rho(x', y', z', t - \frac{r}{c})}{4\pi \epsilon_0 r} dV' \quad (12)$$

První strana Liénardovy práce

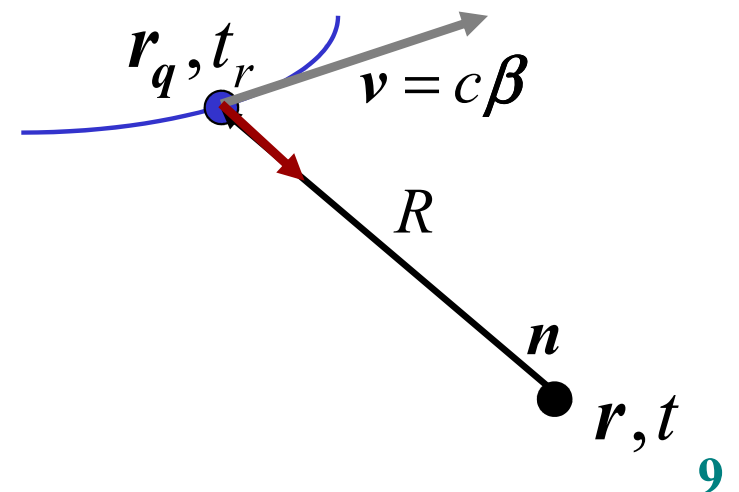
jednoduchý, ale netriviální
výsledek

například skalární potenciál:

$$\Phi(r, t) = \frac{q}{4\pi \epsilon_0} \frac{1}{R(1 - n\beta)} \Big|_{t_r}$$

$$c \cdot (t - t_r) = |\mathbf{r} - \mathbf{r}_q(t_r)| \equiv R(t_r)$$

$$\beta = c^{-1} \mathbf{v}$$



L'Éclairage Électrique

REVUE HEBDOMADAIRE D'ÉLECTRICITÉ

DIRECTION SCIENTIFIQUE

A. CORNU, Professeur à l'École Polytechnique, Membre de l'Institut. — A. D'ARSONVAL, Professeur au Collège de France, Membre de l'Institut. — G. LIPPMANN, Professeur à la Sorbonne, Membre de l'Institut. — D. MONNIER, Professeur à l'École centrale des Arts et Manufactures. — H. POINCARÉ, Professeur à la Sorbonne, Membre de l'Institut. — A. POTIER, Professeur à l'École des Mines, Membre de l'Institut. — J. BLONDIN, Professeur agrégé de l'Université.

CHAMP ÉLECTRIQUE ET MAGNÉTIQUE

PRODUIT PAR UNE CHARGE ÉLECTRIQUE CONCENTRÉE EN UN POINT ET ANIMÉE
D'UN MOUVEMENT QUELCONQUE

Admettons qu'une masse électrique en mouvement de densité ρ et de vitesse u en chaque point produit le même champ qu'un courant de conduction d'intensité $u\rho$. En conservant les notations d'un précédent article (¹) nous obtiendrons pour déterminer le champ, les équations

$$\frac{1}{4\pi} \left(\frac{du}{dy} - \frac{d^2}{dt^2} \right) = \rho u_x + \frac{df}{dt} \quad (1)$$

$$\nabla^2 \left(\frac{dh}{dy} - \frac{df}{dt} \right) = -\frac{1}{4\pi} \frac{ds}{dt} \quad (2)$$

¹ avec les analogues déduites par permutation

Soient maintenant quatre fonctions ψ , F , G , H définies par les conditions

$$\left(\nabla^2 \psi - \frac{d^2}{dt^2} \right) \psi = -4\pi V^2 \rho \quad (3)$$

$$\left(\nabla^2 \lambda - \frac{d^2}{dt^2} \right) F = -4\pi V^2 \rho u_x \quad (4)$$

$$\left(\nabla^2 \lambda - \frac{d^2}{dt^2} \right) G = -4\pi V^2 \rho u_y \quad (5)$$

$$\left(\nabla^2 \lambda - \frac{d^2}{dt^2} \right) H = -4\pi V^2 \rho u_z \quad (6)$$

On satisfera aux conditions (3) et (6) en prenant

On sait que la solution la plus générale est la suivante :

$$\Phi = \int \frac{\rho(x', y', z', t - \frac{r}{c})}{4\pi \epsilon_0 r} dV' \quad (12)$$

$$\rho(r, t) = q \cdot \delta(r - r_q(t))$$

První strana Liénardovy práce

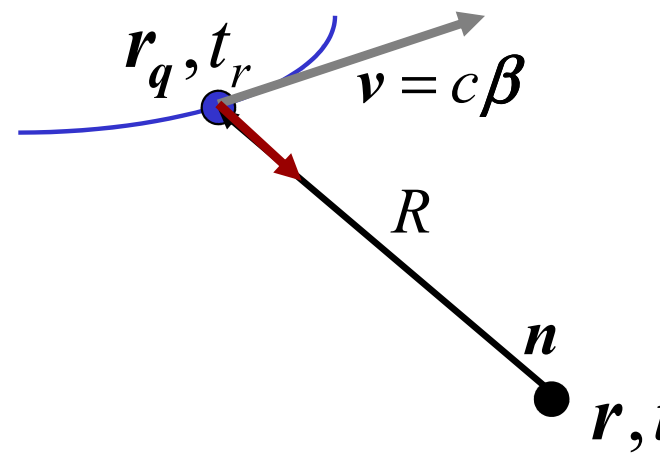
jednoduchý, ale netriviální
výsledek

například skalární potenciál:

$$\Phi(r, t) = \frac{q}{4\pi \epsilon_0} \frac{1}{R(1 - n\beta)} \Big|_{t_r}$$

$$c \cdot (t - t_r) = |r - r_q(t_r)| \equiv R(t_r)$$

$$\beta = c^{-1} v$$



Liénard - Wiechertovy potenciály a jejich pole

$$\varphi(\mathbf{r}, t) = \frac{1}{4\pi\epsilon_0} \left(\frac{q}{(1 - \mathbf{n} \cdot \boldsymbol{\beta})|\mathbf{r} - \mathbf{r}_s|} \right)_{t_r} \quad \boldsymbol{\beta}(t) = \frac{\mathbf{v}_s(t)}{c}$$

$$\mathbf{A}(\mathbf{r}, t) = \frac{\mu_0 c}{4\pi} \left(\frac{q\boldsymbol{\beta}}{(1 - \mathbf{n} \cdot \boldsymbol{\beta})|\mathbf{r} - \mathbf{r}_s|} \right)_{t_r} - \frac{\boldsymbol{\beta}(t_r)}{c} \varphi(\mathbf{r}, t)$$

$$t_r = t - \frac{R(t_r)}{c}$$

$$\mathbf{E} = -\nabla\varphi - \frac{\partial\mathbf{A}}{\partial t} \quad \mathbf{B} = \nabla \times \mathbf{A}$$

$$\mathbf{E}(\mathbf{r}, t) = \frac{1}{4\pi\epsilon_0} \left(\frac{q(\mathbf{n} - \boldsymbol{\beta})}{\gamma^2(1 - \mathbf{n} \cdot \boldsymbol{\beta})^3|\mathbf{r} - \mathbf{r}_s|^2} + \frac{q\mathbf{n} \times ((\mathbf{n} - \boldsymbol{\beta}) \times \dot{\boldsymbol{\beta}})}{c(1 - \mathbf{n} \cdot \boldsymbol{\beta})^3|\mathbf{r} - \mathbf{r}_s|} \right)_{t_r}$$

$$\mathbf{B}(\mathbf{r}, t) = \frac{\mu_0}{4\pi} \left(\frac{qc(\boldsymbol{\beta} \times \mathbf{n})}{\gamma^2(1 - \mathbf{n} \cdot \boldsymbol{\beta})^3|\mathbf{r} - \mathbf{r}_s|^2} + \frac{q\mathbf{n} \times (\mathbf{n} \times ((\mathbf{n} - \boldsymbol{\beta}) \times \dot{\boldsymbol{\beta}}))}{(1 - \mathbf{n} \cdot \boldsymbol{\beta})^3|\mathbf{r} - \mathbf{r}_s|} \right)_{t_r} = \frac{\mathbf{n}(t_r)}{c} \times \mathbf{E}(\mathbf{r}, t)$$

$$\boldsymbol{\beta}(t) = \frac{\mathbf{v}_s(t)}{c} \quad \mathbf{n}(t) = \frac{\mathbf{r} - \mathbf{r}_s(t)}{|\mathbf{r} - \mathbf{r}_s(t)|} \quad \gamma(t) = \frac{1}{\sqrt{1 - |\boldsymbol{\beta}(t)|^2}}$$

Ultrarelativistický elektron

Ultrarelativistický elektron

klidová energie elektronu

$$E_0 = m_0 c^2 = 0.5 \text{ MeV}$$

typická energie v synchrotronu

$$E = 2 - 6 \text{ GeV}$$

typická hodnota $\gamma = E / E_0 = m / m_0$ $\gamma = 4000 - 12000$

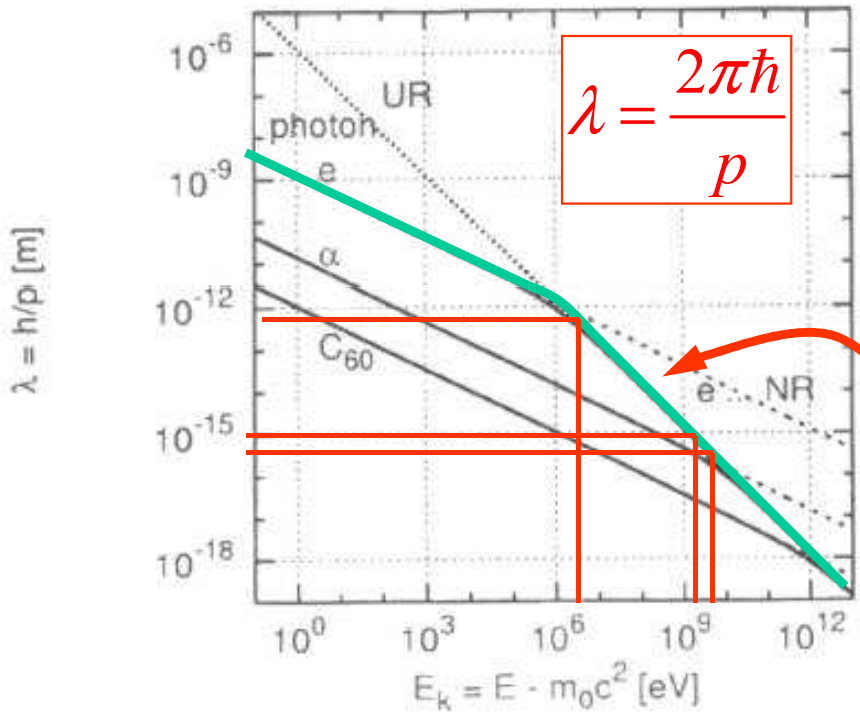
Vztah β a γ

$$\beta = \frac{v}{c}$$

$$\gamma = \frac{1}{\sqrt{1 - \beta^2}} \quad \beta = \sqrt{1 - \frac{1}{\gamma^2}}$$

$$\gamma = 10000 \quad \beta \approx 1 - \frac{1}{2\gamma^2} \cong 1 - 5 \times 10^{-7} \quad v \leftarrow c$$

Realistické vlnové délky elektronů v synchrotronu



ZÁSOBNÍK VZORCŮ

$$\beta = \frac{v}{c}$$

$$E = mc^2 = \frac{m_0}{\sqrt{1-\beta^2}} c^2 \equiv \gamma m_0 c^2 = \gamma E_0$$

$$E = m_0 c^2 + E_{\text{kin}}$$

$$p = m v = m_0 c \cdot \gamma \beta = m_0 c \sqrt{\gamma^2 - 1}$$

$$P = \sqrt{\frac{E_{\text{kin}}^2}{c^2} + 2m_0 E_{\text{kin}}}$$

LIMITY (explicitní hodnoty platí pro elektrony)

nerelativistická

$$E_{\text{kin}} \ll m_0 c^2$$

$$\lambda = \frac{2\pi\hbar}{\sqrt{2m_0 E_{\text{kin}}}} = \frac{1.22}{\sqrt{E_{\text{kin}}}} \text{ (nm, eV)}$$

předěl

$$E_{\text{kin}} \approx 2m_0 c^2$$

$$\approx 10^6 \text{ eV}$$

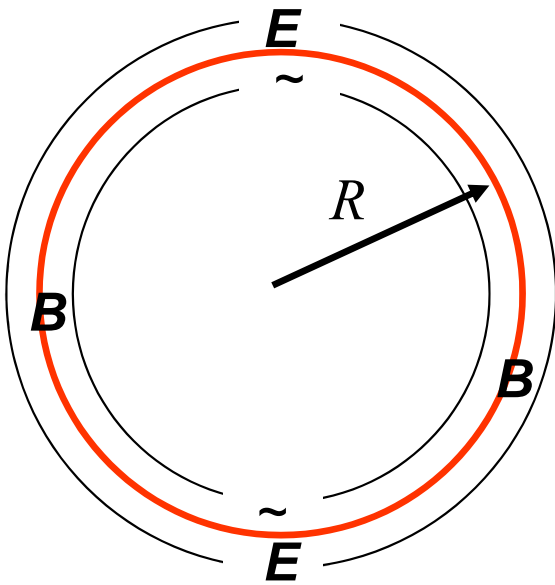
ultrarelativistická

$$E_{\text{kin}} \gg m_0 c^2$$

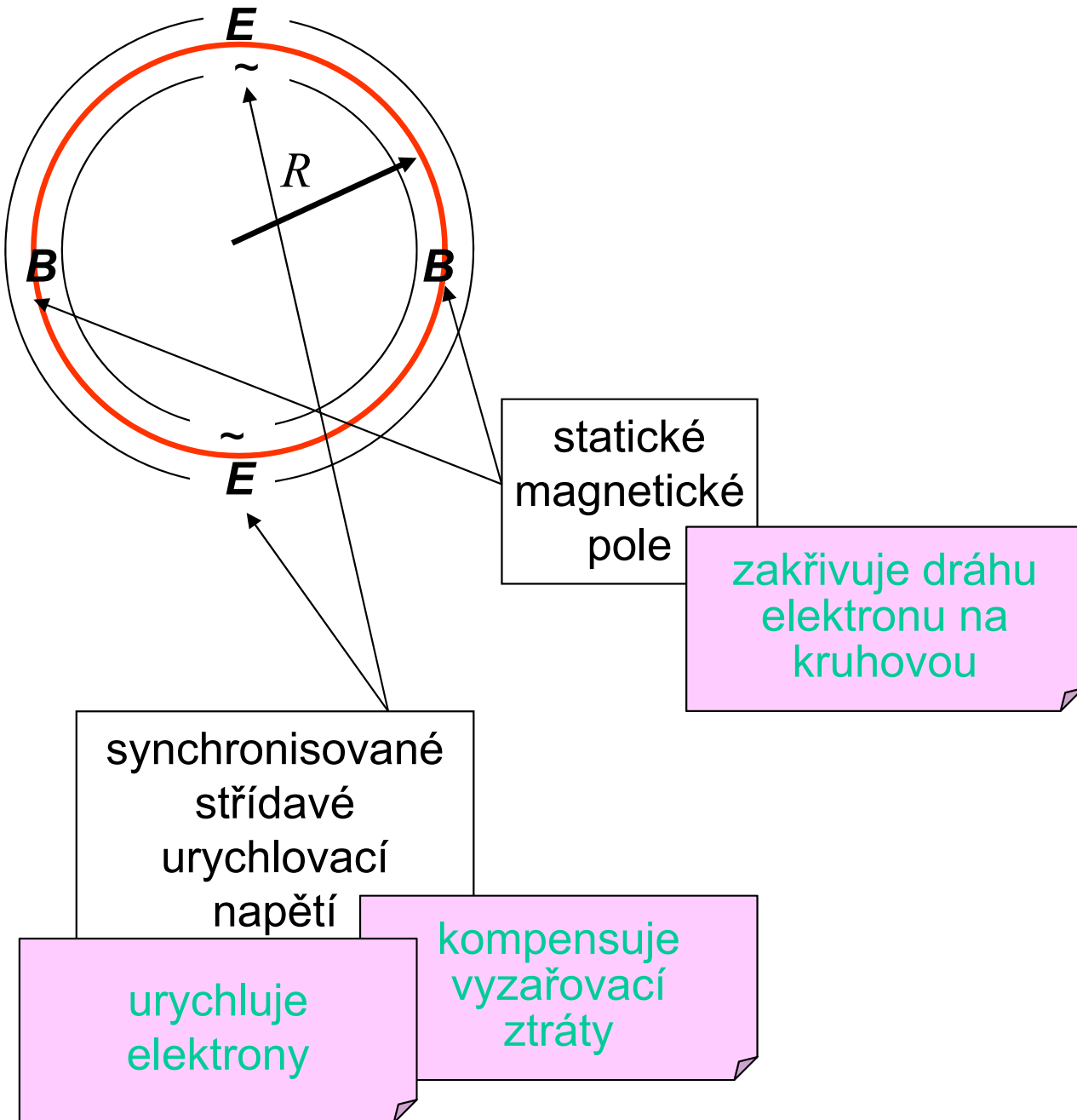
$$\lambda = \frac{2\pi\hbar c}{E_{\text{kin}}} = \frac{1.24}{E_{\text{kin}}} \text{ (\mu m, eV)}$$

Princip synchrotronu:
Ultrarelativistický elektron
na kruhové orbitě

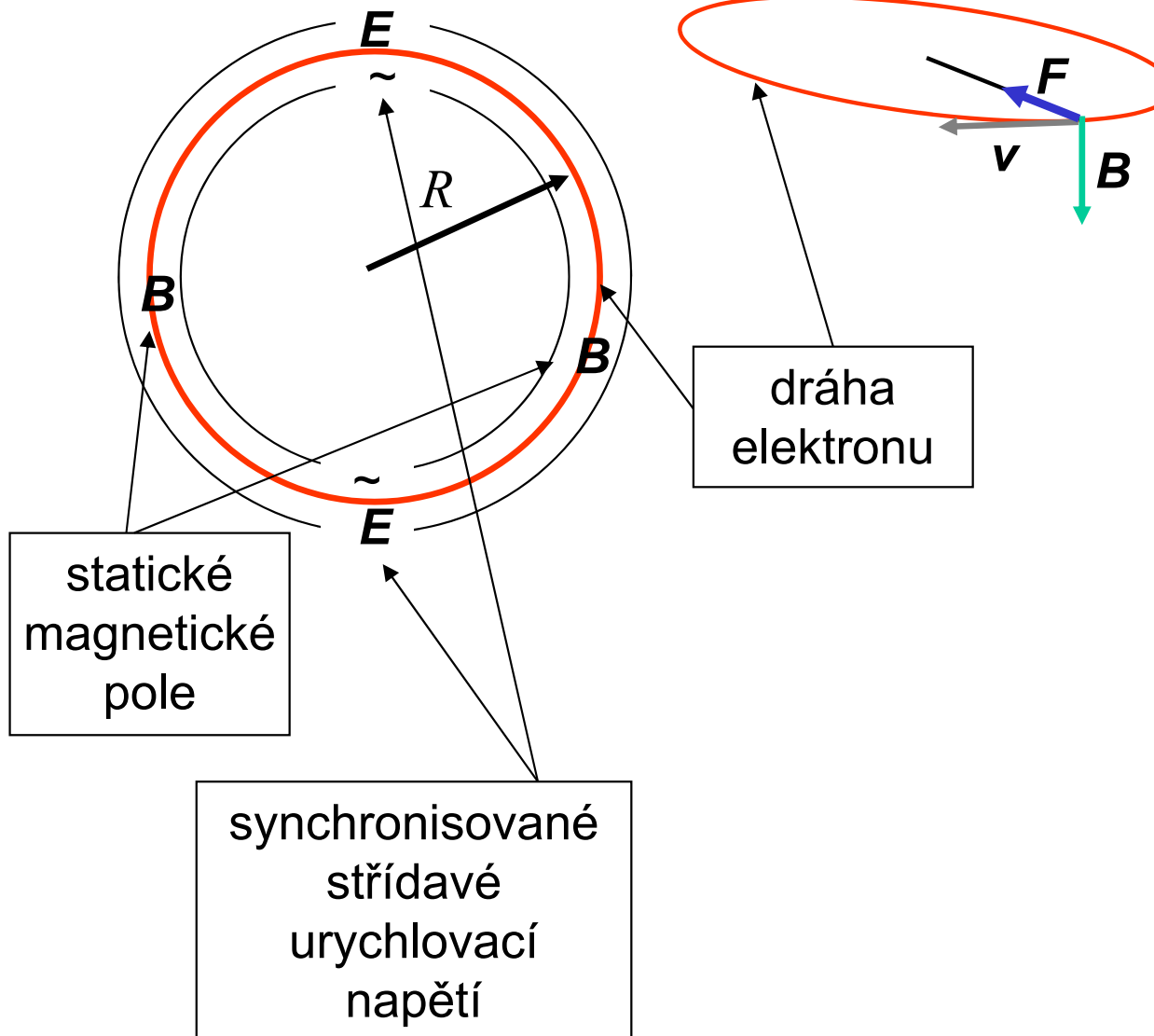
Princip synchrotronu



Princip synchrotronu



Elektron na kruhové dráze



Lorentzova síla,
pohybová rovnice

$$\frac{d}{dt}(m\mathbf{v}) = e(\mathbf{E} + \mathbf{v} \times \mathbf{B})$$

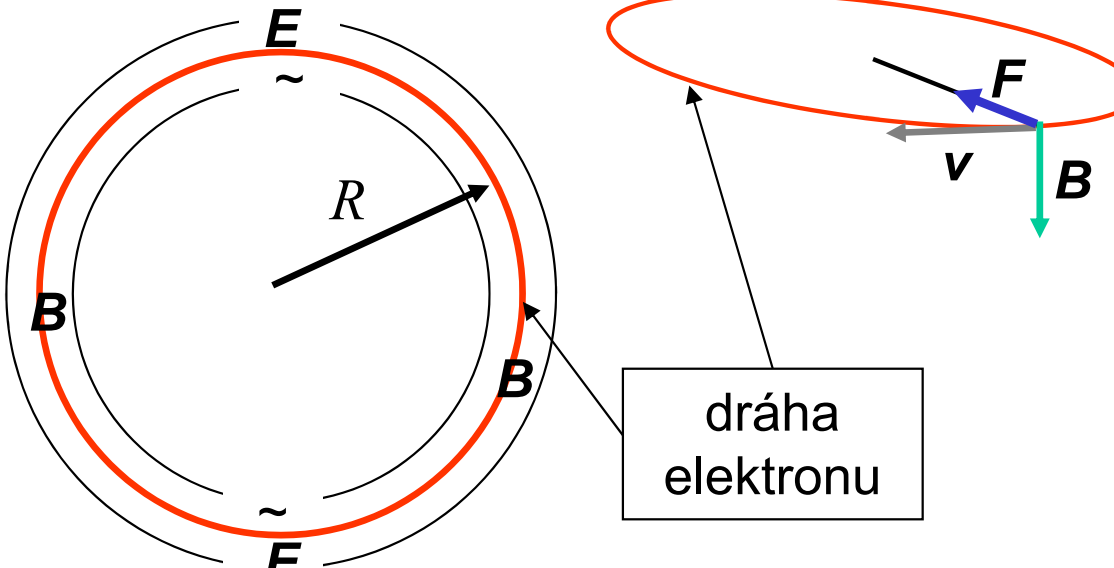
relativistická označení

$$\frac{v}{c} = \beta \quad E = mc^2 = m_0 c^2 \cdot \gamma$$

$$\frac{1}{c}\mathbf{v} = \beta \quad \gamma = \frac{1}{\sqrt{1 - \beta^2}}$$

$e < 0$

Elektron na kruhové dráze



$$m \frac{v^2}{R} = evB$$

Lorentzova síla,
pohybová rovnice

$$\frac{d}{dt}(mv) = e(E + v \times B)$$

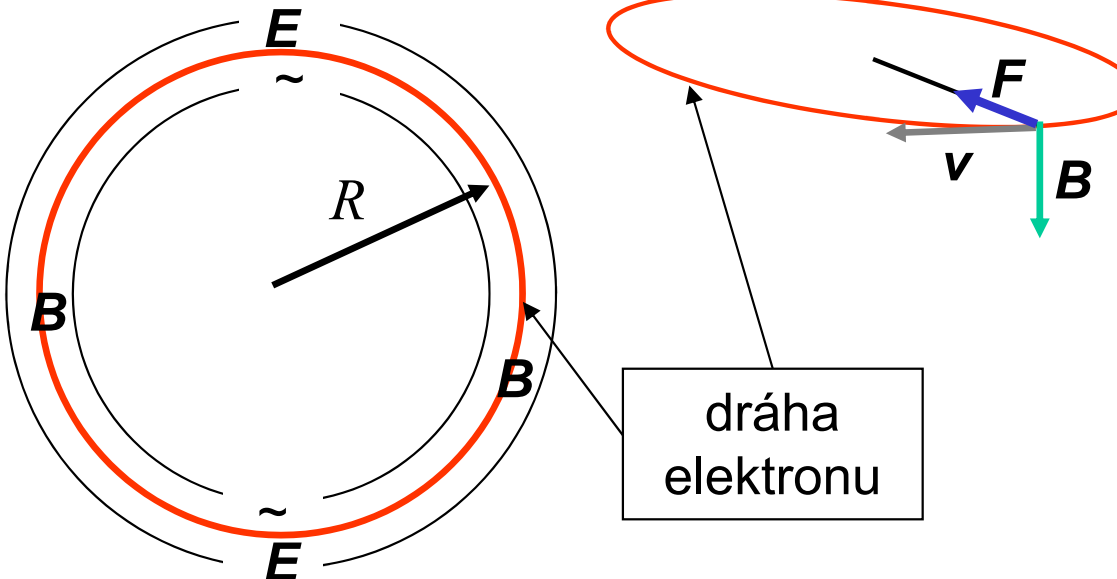
relativistická označení

$$\frac{v}{c} = \beta \quad E = mc^2 = m_0 c^2 \cdot \gamma$$

$$\frac{1}{c}v = \beta \quad \gamma = \frac{1}{\sqrt{1 - \beta^2}}$$

$e < 0$

Elektron na kruhové dráze



Lorentzova síla,
pohybová rovnice

$$\frac{d}{dt}(m\mathbf{v}) = e(\mathbf{E} + \mathbf{v} \times \mathbf{B})$$

relativistická označení

$$\frac{v}{c} = \beta \quad E = mc^2 = m_0 c^2 \cdot \gamma$$

$$\frac{1}{c}\mathbf{v} = \beta \quad \gamma = \frac{1}{\sqrt{1 - \beta^2}}$$

$$m \frac{v^2}{R} = evB$$

$$\omega_L = \frac{v}{R} = \frac{eB}{m}$$

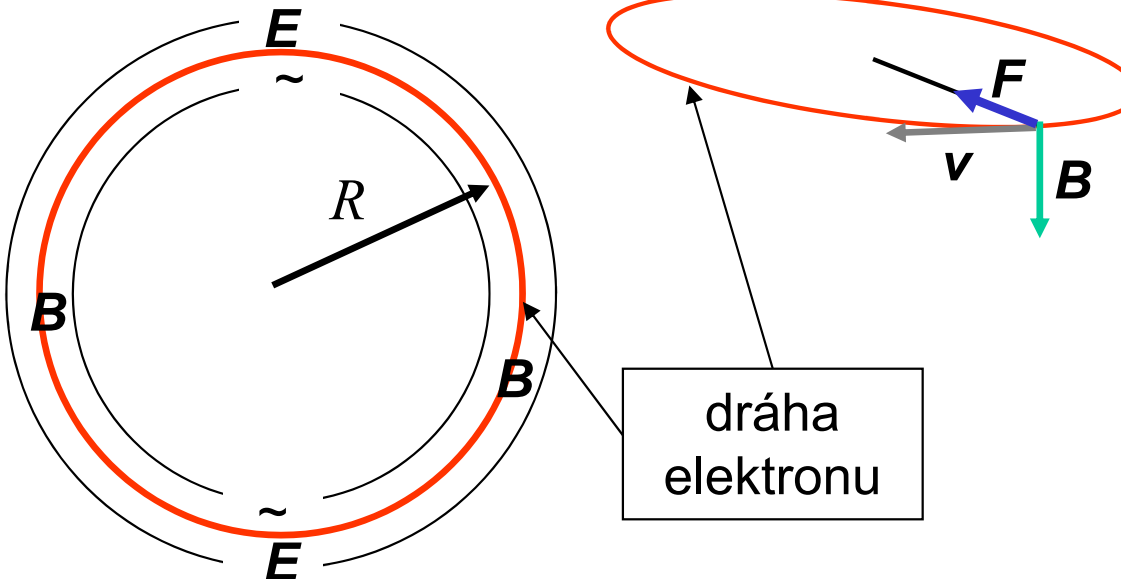
Larmorova
frekvence

$$\frac{m}{m_0} = \frac{e}{m_0 v} BR$$

$$\gamma = \frac{eB}{m_0 c} R \cdot \beta^{-1}$$

$e < 0$

Ultrarelativistický elektron na kruhové dráze



Lorentzova síla,
pohybová rovnice

$$\frac{d}{dt}(m\mathbf{v}) = e(\mathbf{E} + \mathbf{v} \times \mathbf{B})$$

relativistická označení

$$\frac{v}{c} = \beta \quad E = mc^2 = m_0 c^2 \cdot \gamma$$

$$\frac{1}{c}\mathbf{v} = \beta \quad \gamma = \frac{1}{\sqrt{1 - \beta^2}}$$

$$m \frac{v^2}{R} = evB$$

$$\omega_L = \frac{v}{R} = \frac{eB}{m}$$

$$\frac{m}{m_0} = \frac{e}{m_0 v} BR$$

$$\gamma = \frac{eB}{m_0 c} R \cdot \beta^{-1}$$

Larmorova
frekvence

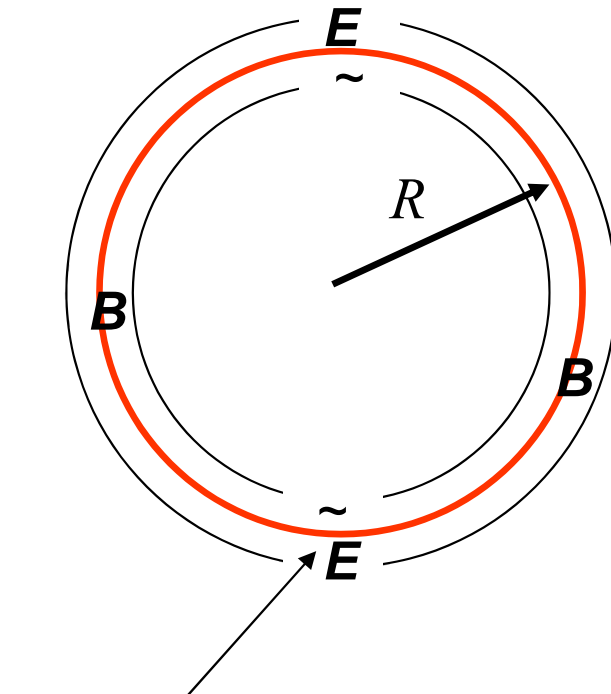
v ultrarelativistickém
případě $\beta \sim 1$

$$\omega_L = \frac{c}{R} = \frac{e}{m_0} B \gamma^{-1}$$

$$\gamma = \frac{e}{m_0 c} \cdot BR$$

$e < 0$

Vkládání energie



synchronisované
střídavé
urychlovací
napětí

výkon elektrického pole

$$W = eE\nu$$

pohybová rovnice

$$\frac{d}{dt}(mv) = e(E + \nu \times B)$$

$$\frac{d}{dt}(mv) = e|E| \quad \text{podélná složka}$$

počítáme

$$W = \nu \frac{d}{dt}(mv) = m_0 c^2 \beta \frac{d}{dt}(\gamma \beta) \quad \leftarrow \beta = \sqrt{1 - \gamma^{-2}}$$

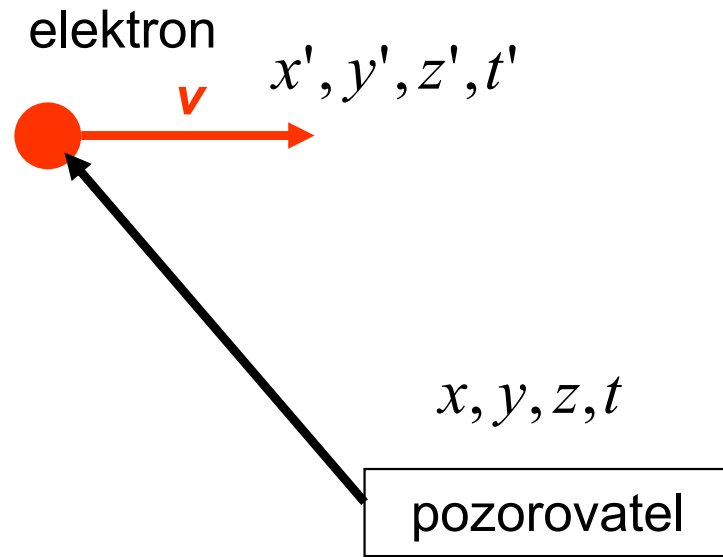
$$W = m_0 c^2 \cdot \frac{d}{dt} \gamma = \frac{d}{dt} E$$

urychluje
elektrony

kompensuje
vyzařovací
ztráty

Kolimace vyzářené vlny

Vlna vysílaná pohyblivým zdrojem



Lorentzova transformace

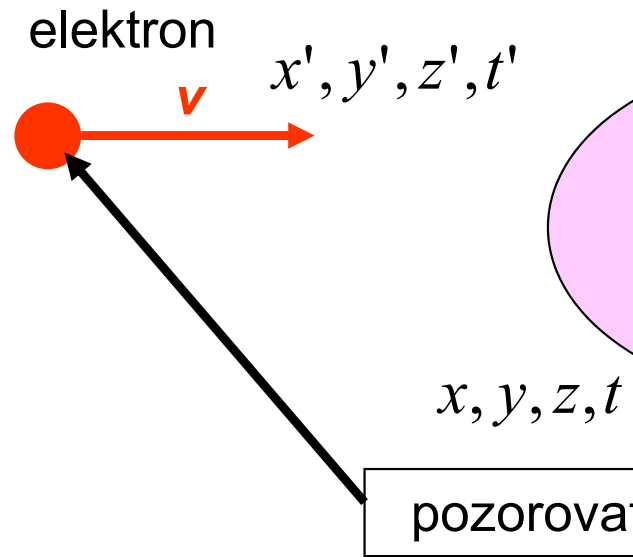
$$x' = \gamma(x - vt)$$

$$y' = y$$

$$z' = z$$

$$t' = \gamma\left(t - \frac{vx}{c^2}\right)$$

Vlna vysílaná pohyblivým zdrojem



Lorentzova transformace

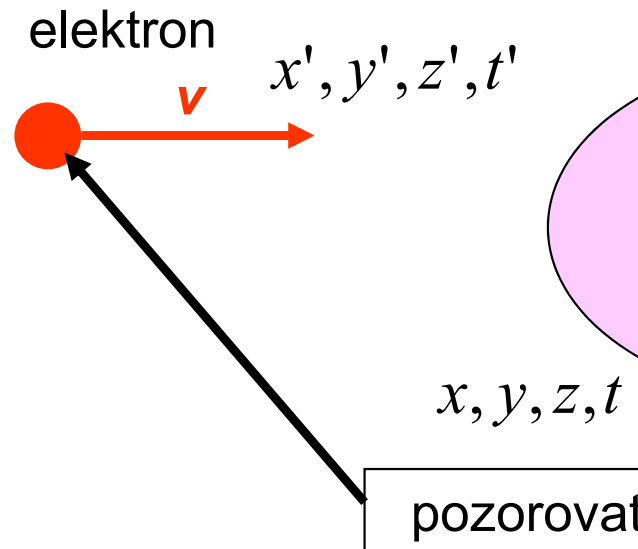
$$x' = \gamma(x - vt)$$

$$y' = y$$

$$z' = z$$

$$t' = \gamma\left(t - \frac{vx}{c^2}\right)$$

Vlna vysílaná pohyblivým zdrojem



fáze rovinné vlny je invariant

Lorentzova transformace

$$x' = \gamma(x - vt)$$

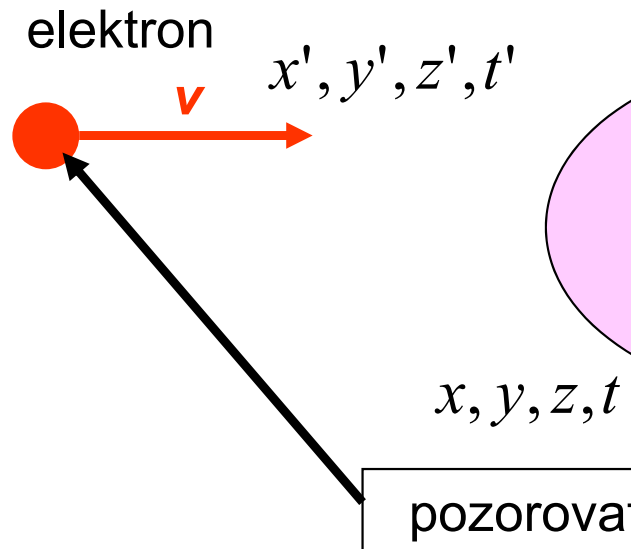
$$y' = y$$

$$z' = z$$

$$t' = \gamma\left(t - \frac{vx}{c^2}\right)$$

$$\mathbf{k}r - \omega t = \frac{\omega}{c}(\mathbf{n} \cdot \mathbf{r} - ct), \quad \omega = ck$$

Vlna vysílaná pohyblivým zdrojem



Lorentzova transformace

$$x' = \gamma(x - vt)$$

$$y' = y$$

$$z' = z$$

$$t' = \gamma\left(t - \frac{vx}{c^2}\right)$$

fáze rovinné vlny je invariant

$$\mathbf{k}\mathbf{r} - \omega t = \frac{\omega}{c}(\mathbf{n}\mathbf{r} - ct), \quad \omega = ck$$

$$\omega(n_x x + n_y y + n_z z - ct) = \omega'(n'_x x' + n'_y y' + n'_z z' - ct')$$

$$\begin{aligned} \omega n_x &= \omega' \gamma(n'_x + \beta) & \omega n_y &= \omega' n'_y \\ \omega &= \omega' \gamma(1 + \beta n'_x) & \omega n_z &= \omega' n'_z \end{aligned}$$

Vlna vysílaná pohyblivým zdrojem, pokračování

$$\begin{aligned}\omega n_x &= \omega' \gamma (n'_x + \beta) & \omega n_y &= \omega' n'_y \\ \omega &= \omega' \gamma (1 + \beta n'_x) & \omega n_z &= \omega' n'_z\end{aligned}$$

oddělíme

n od ω

$$\begin{aligned}n_x &= \frac{n'_x + \beta}{1 + \beta n'_x} & n_y &= \frac{n'_y}{\gamma(1 + \beta n'_x)} \\ \omega &= \omega' \gamma (1 + \beta n'_x) & n_z &= \frac{n'_z}{\gamma(1 + \beta n'_x)}\end{aligned}$$

Vlna vysílaná pohyblivým zdrojem, pokračování

$$\begin{aligned}\omega n_x &= \omega' \gamma (n'_x + \beta) & \omega n_y &= \omega' n'_y \\ \omega &= \omega' \gamma (1 + \beta n'_x) & \omega n_z &= \omega' n'_z\end{aligned}$$

oddělíme

n od ω

$$n_x = \frac{n'_x + \beta}{1 + \beta n'_x} \quad n_y = \frac{n'_y}{\gamma(1 + \beta n'_x)}$$

$$\omega = \omega' \gamma (1 + \beta n'_x)$$

$$n_z = \frac{n'_z}{\gamma(1 + \beta n'_x)}$$

DOPPLERŮV
JEV

KOLIMACE V
POMĚRU γ^{-1}

vlastní frekvence záření je ovšem
Larmorova frekvence oběhu
elektronů ... radiofrekvence

$$\omega' \square c / R$$

ta se Dopplerem posune do
zhruba viditelné oblasti

$$\omega \square \gamma \cdot c / R$$

Vlna vysílaná pohyblivým zdrojem, pokračování

$$\begin{aligned}\omega n_x &= \omega' \gamma (n'_x + \beta) & \omega n_y &= \omega' n'_y \\ \omega &= \omega' \gamma (1 + \beta n'_x) & \omega n_z &= \omega' n'_z\end{aligned}$$

oddělíme
 n od ω

$$\begin{aligned}n_x &= \frac{n'_x + \beta}{1 + \beta n'_x} & n_y &= \frac{n'_y}{\gamma(1 + \beta n'_x)} \\ \omega &= \omega' \gamma (1 + \beta n'_x) & n_z &= \frac{n'_z}{\gamma(1 + \beta n'_x)}\end{aligned}$$

DOPPLERŮV
JEV

KOLIMACE V
POMĚRU γ^{-1}

vlastní frekvence záření je ovšem
Larmorova frekvence oběhu
elektronů ... radiofrekvence

$$\omega' \square c / R$$

Je to přesně učebnicové
odvození aberace a
relativistického výrazu pro
Dopplerův efekt

Fotonová interpretace:
vynásobením c máme
relativistické skládání
rychlostí



ta se Dopplerem posune do
zhruba viditelné oblasti

$$\omega \square \gamma \cdot c / R$$

Kolimace synchrotronového záření

**KLASICKÝ
OBRÁZEK ZE
VŠECH UČEBNIC**

při pomalém pohybu elektron na kruhové dráze září jako superposice dvou vzájemně kolmých dipólů, tedy

kosinový zářič s okamžitým dipólem kolmým na tečnu ke kruhové dráze

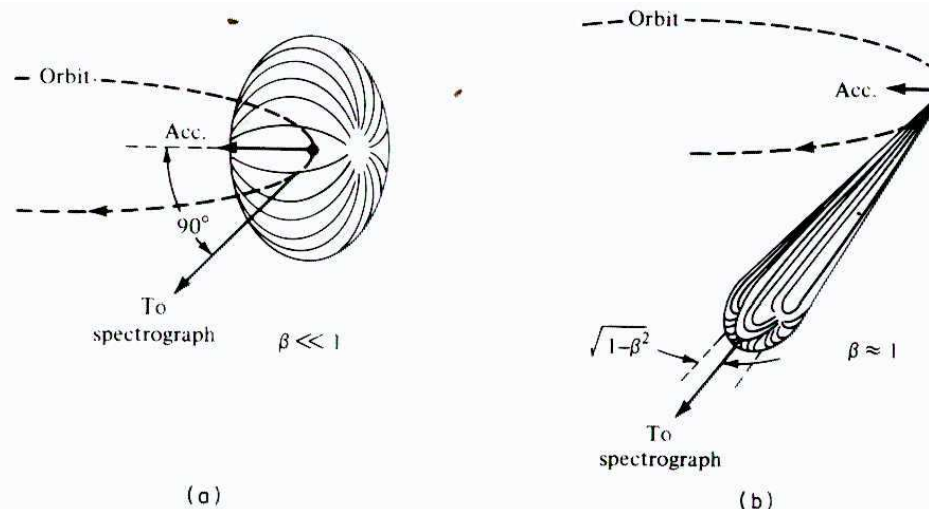


Figure 17.1 Angular intensity distribution of slow (a) and relativistic (b) electrons on a circular orbit. The dipole pattern (a) is strongly distorted (b) into the forward direction because of the relativistic speed of the electron; β , velocity in units of c . (From Tomboulian and Hartman⁵)

při rychlém pohybu elektron na kruhové dráze sám sebe vnímá jako superposici dvou vzájemně kolmých dipólů,

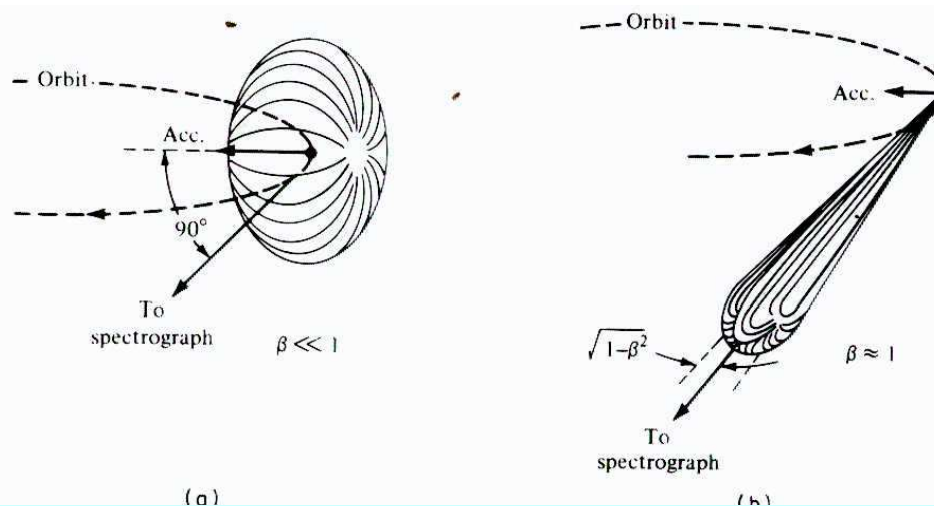
pozorovatel však vnímá vlny po Lorentzově transformaci, tedy silně kolimované vpřed

Kolimace synchrotronového záření

**KLASICKÝ
OBRÁZEK ZE
VŠECH UČEBNIC**

při pomalém pohybu elektron na kruhové dráze září jako superposice dvou vzájemně kolmých dipólů, tedy

kosinový zářič s okamžitým dipolem kolmým na tečnu ke kruhové dráze



pro $1 > n'_x > -\beta \square -\left(1 - \frac{1}{2\gamma^2}\right)$

$$n_x = \frac{n'_x + \beta}{1 + \beta n'_x} > 0$$

pro $1 > n'_x > -\left(1 - 999(1 - \beta)\right) > -\beta$

$$n_x > 0.998$$

při rychlém pohybu elektron na kruhové dráze sám sebe vnímá jako superposici dvou vzájemně kolmých dipólů,

pozorovatel však vnímá vlny po "**vidíme elektron i ze zadu**" silně kolimované vpřed

skoro všechny kolimovány lépe než na 1%

Kolimace synchrotronového záření

**KLASICKÝ
OBRÁZEK ZE
VŠECH UČEBNIC**

při pomalém pohybu elektron na kruhové dráze září jako superposice dvou vzájemně kolmých dipólů, tedy

kosinový zářič s okamžitým dipolem kolmým na tečnu ke kruhové dráze

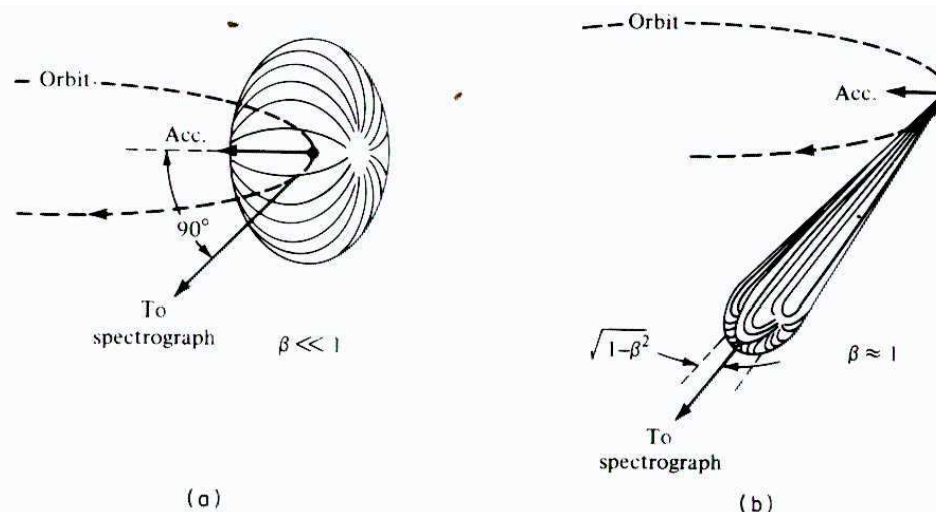


Figure 17.1 Angular intensity distribution of slow (a) and relativistic (b) electrons on a circular orbit. The dipole pattern (a) is strongly distorted (b) into the forward direction because of the relativistic speed of the electron; β , velocity in units of c . (From Tomboulian and Hartman⁵)

pro $1 > n'_x > -\beta \Leftrightarrow -\left(1 - \frac{1}{2\gamma^2}\right)$

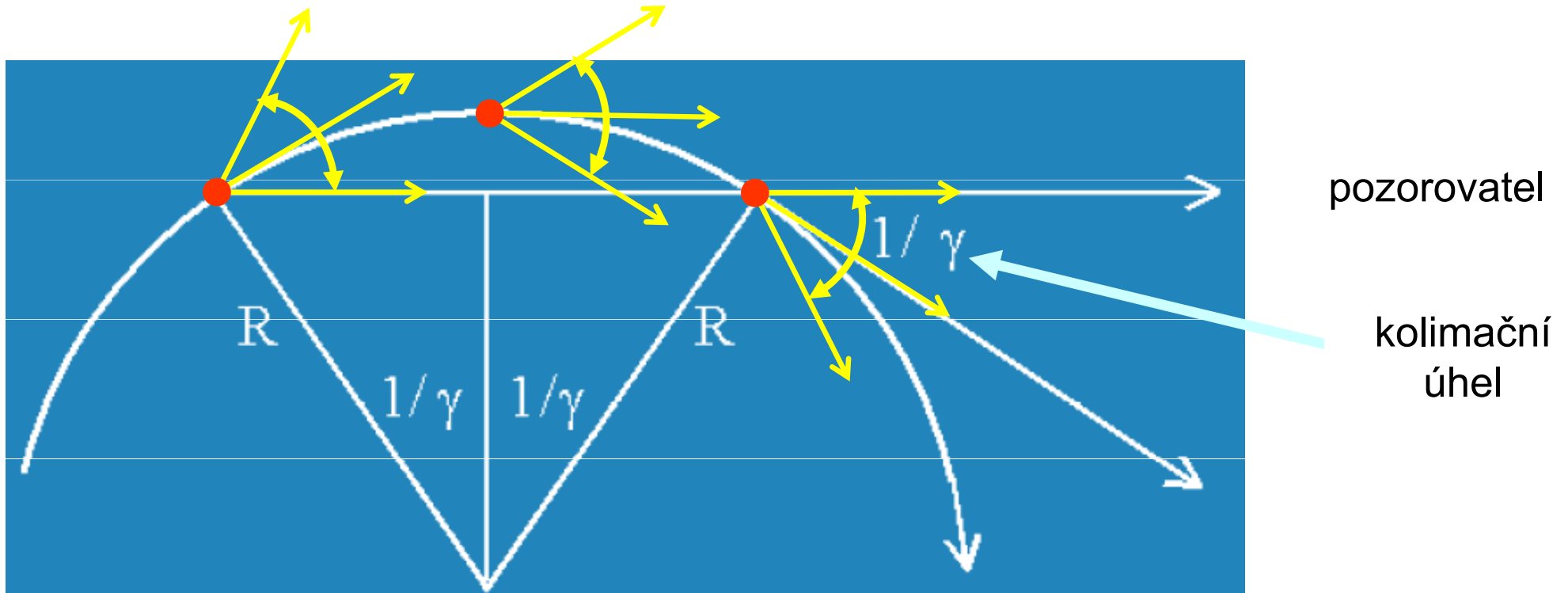
$$n_x = \frac{n'_x + \beta}{1 + \beta n'_x} > 0$$

při rychlém pohybu elektron na kruhové dráze sám sebe vnímá jako superposici dvou vzájemně kolmých dipólů,

pozorovatel však vnímá vlny po "**vidíme elektron i ze zadu**" **silně kolimované vpřed**

Spektrální a celková intenzita SR

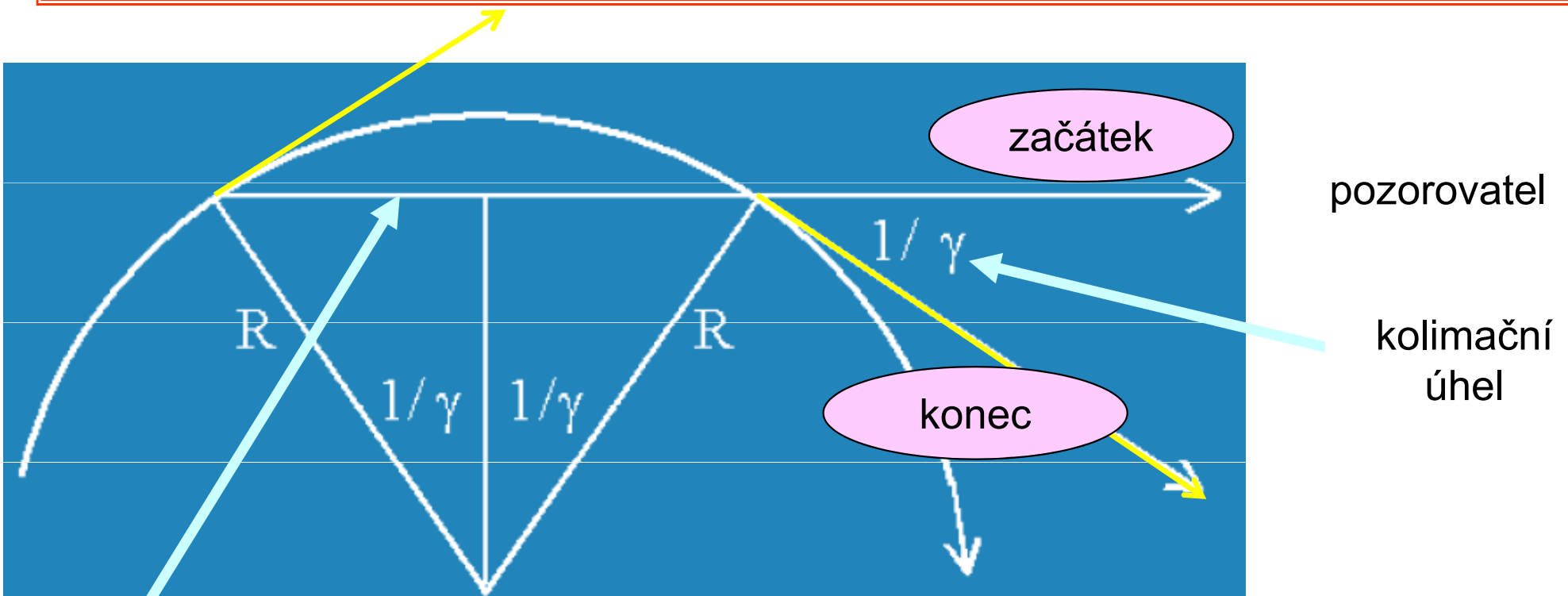
Pozorování záblesku SZ od prolétajícího elektronu



geometricky je pozorovatel v kolimačním kuželi po dobu přejezdu elektronu obloukem světlo ze vzdálených částí se však opožďuje o dobu letu trvání záblesku = doba přejezdu elektronu obloukem – doba letu fotonů tětivou

Doba záblesku a spektrální obor SZ

trvání záblesku = doba přejezdu elektronu obloukem – doba letu fotonů tětivou



dráha
fotonů

$$\Delta t = \frac{2R}{c} \left\{ \frac{1}{\beta\gamma} - \sin \frac{1}{\gamma} \right\} \approx \frac{2R}{c} \left\{ \frac{1}{\gamma} \left(1 + \frac{1}{2\gamma^2} \right) - \frac{1}{\gamma} + \frac{1}{6\gamma^3} \right\}$$

$$\Delta t = \frac{4R}{3c} \cdot \frac{1}{\gamma^3}$$

Spektrální obor SZ -- pokračování

použijeme
" relací neurčitosti"
čas × frekvence $\sim 2\pi$

$$\Delta t = \frac{4R}{3c} \cdot \frac{1}{\gamma^3}$$

$$\omega_S = \dots \omega_L \times \gamma^3$$

$$\omega_L = \frac{\nu}{R} \approx \frac{c}{R}$$

dobrý odhad charakteristické
frekvence

... DOSTANEME SE DO VELMI VYSOKÝCH
FREKVENCÍ, ZPRAVIDLA V RTG OBLASTI

Přesný výpočet spektrální intenzity

$$\frac{dW}{d\omega} = \text{const} \times F(\omega/\omega_c) \quad \text{univerzální funkce}$$

kritická frekvence $\omega_c = \frac{3eB}{2m_0}\gamma^2 = \frac{3}{2}\omega_L\gamma^3$

Přesný výpočet spektrální intenzity

$$\frac{dW}{d\omega} = \text{const} \times F(\omega/\omega_c) \quad \text{univerzální funkce}$$

kritická frekvence $\omega_c = \frac{3eB}{2m_0}\gamma^2 = \frac{3}{2}\omega_L\gamma^3 = \frac{3}{2}\omega_s \quad \dots \text{OK.}$

The end